

## Research Paper

# Determining the Stability of New Maize Hybrids with WAASBY and MTSI Indices

Mohammadreza Shiri<sup>1</sup>, Sajjad Moharramnejad<sup>2</sup>, Afshar Estakhr<sup>3</sup>, Sharareh Fareghi<sup>4</sup>,  
Hamid Najafinezhad<sup>5</sup>, Saeed Khavari Khorasani<sup>6</sup>, Aziz Afarinesh<sup>7</sup>, Kamran Anvari<sup>8</sup>,  
Morteza Eshraghi-Nejad<sup>9</sup> and Masoud Mohseni<sup>10</sup>

- 1- Associate Professor, Seed and Plant Improvement Institute, Agricultural Research Education and Extension Organization (AREEO): Karj, Iran, (Corresponding author: mohammadrezashiri52@gmail.com)
- 2- Assistant Professor, Crop and Horticultural Science Research Department, Ardabil Agricultural and Natural Resources Research and Education Center, AREEO, Moghan, Iran
- 3- Assistant Professor, Crop and Horticultural Science Research Department, Fars Agricultural and Natural Resources Research and Education Center, AREEO, Shiraz, Iran
- 4- Assistant Professor, Crop and Horticultural Science Research Department, Kermanshah Agricultural and Natural Resources Research and Education Center, AREEO, Kermanshah, Iran
- 5- Assistant Professor, Crop and Horticultural Science Research Department, Kerman Agricultural and Natural Resources Research and Education Center, AREEO, Kerman, Iran
- 6- Assistant Professor, Crop and Horticultural Science Research Department, Khorasan Razavi Agricultural and Natural Resources Research and Education Center, AREEO, Mashhad, Iran
- 7- Assistant Professor, Crop and Horticultural Science Research Department, Safiabad Agricultural and Natural Resources Research and Education Center, AREEO, Dezful, Iran
- 8- Researcher, Crop and Horticultural Science Research Department, West Azerbaijan Agricultural and Natural Resources Research and Education Center, AREEO, Urmia, Iran
- 9- Assistant Professor, Crop and Horticultural Science Research Department, South Kerman Agricultural and Natural Resources Research and Education Center, AREEO, Jiroft, Iran
- 10- Assistant Professor, Crop and Horticultural Science Research Department, Mazandaran Agricultural and Natural Resources Research and Education Center, AREEO, Sari, Iran

Received: 17 April, 2023

Revised: 31 December, 2023

Accepted: 7 January, 2024

Available Online: 6 May, 2024

## Extended Abstract

**Background:** Maize is an important crop that is cultivated in many parts of the world. The evaluation of genotypes in breeding programs often faces two important challenges, the genotype × environment interaction effect for the target trait and unfavorable relationships between the target traits. Even though many methods have been offered for stability analysis, especially graphical tools and their relatively good efficiency in interpreting the results, it seems that the best linear unbiased predictions (BLUP) method estimates the means with high accuracy, especially in mixed models, in multi-environmental trials (MET). Therefore, the stability index of weighted average absolute scores (WAASB), which is estimated from the integration of the two stability methods of additive main effect and multiplicative interaction (AMMI) and best linear unbiased predictions, can be used in METs to estimate more accurately the stability of genotypes. Maize breeding programs prioritize high grain yields and earliness as important traits. The multi-trait stability index (MTSI) is a valuable tool for the simultaneous selection of multiple traits. It is estimated based on the average performance and simultaneous stability of genotypes in different traits and environments. Therefore, the current research aimed to identify stable and high grain yield maize hybrids along with the optimal level of grain moisture percentage at harvest time and days to physiological maturity using the integration of AMMI and BLUP methods with WAASB, WAASBY, and MTSI indices.

**Methods:** This study involved the evaluation of seven promising maize hybrids along with four commercial check varieties, including SC647, TWC647, SC704, and SC715, in maize METs based on a randomized complete block design with four replications across 10 regions (Karaj, Moghan, Shiraz, Kermanshah, Kerman, Mashhad, Dezful, Miyandoab, Jiroft, and Mazandaran) during two cropping seasons of 2019-2020. The recorded traits were grain yield adjusted at 14% moisture content, grain moisture percentage at harvest time, and days to physiological maturity. The WAASB was used to estimate genotypic stability for each genotype. It was computed from the singular value decomposition (SVD) of the matrix of best linear unbiased predictions of genotype vs. environment interaction effects generated by a linear mixed-effect model. The WAASBY index for simultaneous selection based on grain yield (Y) and stability (WAASB) was



estimated by assigning different weights to grain yield and stability. The simultaneous selection for grain yield and stability based on several traits was conducted using the scores obtained from an exploratory factor analysis (MTSI).

**Results:** Based on the grain yield across 10 environments over two years, promising hybrid NO. 3 had the highest grain yield with 12.80 tons per hectare. According to the likelihood ratio test (LRT), the genotype-by-environment interaction was significant for the traits of grain yield, grain moisture percent at harvest time, and the days to physiological maturity. Therefore, BLUP analysis can be performed on these data due to the significant genotype by environment interaction. The BLUPs performed for hybrids were followed by stability analysis using the AMMI method on these BLUPs. The results indicated that the first and second components justified 27.7% and 24.6% of the hybrid by environment interaction variances, respectively. The highest predicted grain yield by the BLUP method belonged to hybrids No. 3, 2, 4, and 1, with higher than average predicted grain yields. Based on the biplot for the first principal component of the environments against the nominal grain yield, hybrids 2, 6, 3, and 1, having the lowest scores of the first principal component (coefficient b or line slope), had a negligible contribution to the hybrid by environment interaction and were distinguished stable. To enable simultaneous selection based on both grain yield and stability, the WAASBY index was estimated by integrating grain yield (Y) and the WAASB stability index. Considering the 50% contribution of each of the two grain yield and yield stability components, five hybrids (1, 2, 3, 6, and 4) showed above-average WAASBY. Among these, hybrids 1, 2, and 3 had significantly higher WAASBY than the other hybrids. All four control cultivars SC647, TWC647, SC704, and SC715 had lower-than-average WAASBY. Based on the MTSI, hybrid 3 was selected as the best hybrid. In addition, the estimated variance components by restricted maximum likelihood (REML) for grain yield indicated that 75.72% and 7.57% of the phenotypic variance were explained by the environment and GEI variances, respectively, whereas the contribution of residual variance to the phenotypic variance was 16.77%.

**Conclusion:** Based on the results, hybrid 3 (K47/2-2-1-4-2-1-1-1× MO17) was identified as a high-yielding hybrid, which can be introduced to farmers as a new superior maize hybrid. It seems that the use of the ratio of the WAASB stability index to grain yield (WAASB/Y) and the selection of superior genotypes based on the MTSI could identify hybrids with high grain yields, stability, and desirable levels of important agronomic traits.

**Keywords:** Adaptability, Grain yield, Multi-traits stability, Prediction, Simultaneous selection

**How to Cite This Article:** Shiri, M., Moharramnejad, S., Estakhr, A., Fareghi, Sh., Najafinezhad, H., Khavari Khorasani, S., Afarinesh, A., Anvari, K., Eshraghi-Nejad, M. (2024). Determining the Stability of New Maize Hybrids with WAASBY and MTSI Indices. *J Crop Breed*, 16(2), 14-28. DOI: 10.61186/jcb.16.2.14



مقاله پژوهشی

تعیین پایداری هیبریدهای جدید ذرت با شاخص‌های MTSI و WAASBY

محمد رضا شیرینی<sup>۱</sup>، سجاد محرم‌نژاد<sup>۲</sup>، افشار استخر<sup>۳</sup>، شراره فارغی<sup>۴</sup>، حمید نجفی‌نژاد<sup>۵</sup>، سعید خاوری خراسانی<sup>۶</sup>، عزیز آفرینش<sup>۷</sup>، کامران انوری<sup>۸</sup>، مرتضی اشراقی‌نژاد<sup>۹</sup> و مسعود محسنی<sup>۱۰</sup>

۱- دانشیار، موسسه تحقیقات اصلاح و تهیه نهال و بذر، سازمان تحقیقات، آموزش و ترویج کشاورزی، کرج، ایران،

(نویسنده مسول: mohammadrezashiri52@gmail.com)

- ۲- استادیار، بخش تحقیقات علوم زراعی و باغی، مرکز تحقیقات و آموزش کشاورزی و منابع طبیعی اردبیل، سازمان تحقیقات، آموزش و ترویج کشاورزی، مغان، ایران
- ۳- استادیار، بخش تحقیقات علوم زراعی و باغی، مرکز تحقیقات و آموزش کشاورزی و منابع طبیعی فارس، سازمان تحقیقات، آموزش و ترویج کشاورزی، شیراز، ایران
- ۴- استادیار، بخش تحقیقات علوم زراعی و باغی، مرکز تحقیقات و آموزش کشاورزی و منابع طبیعی کرمانشاه، سازمان تحقیقات، آموزش و ترویج کشاورزی، کرمانشاه، ایران
- ۵- استادیار، بخش تحقیقات علوم زراعی و باغی، مرکز تحقیقات و آموزش کشاورزی و منابع طبیعی کرمان، سازمان تحقیقات، آموزش و ترویج کشاورزی، کرمان، ایران
- ۶- استادیار، بخش تحقیقات علوم زراعی و باغی، مرکز تحقیقات و آموزش کشاورزی و منابع طبیعی خراسان رضوی، سازمان تحقیقات، آموزش و ترویج کشاورزی، مشهد، ایران
- ۷- استادیار، بخش تحقیقات علوم زراعی و باغی، مرکز تحقیقات و آموزش کشاورزی و منابع طبیعی دزفول، سازمان تحقیقات، آموزش و ترویج کشاورزی، دزفول، ایران
- ۸- محقق، بخش تحقیقات علوم زراعی و باغی، مرکز تحقیقات و آموزش کشاورزی و منابع طبیعی آذربایجان غربی، سازمان تحقیقات، آموزش و ترویج کشاورزی، ارومیه، ایران
- ۹- استادیار، بخش تحقیقات علوم زراعی و باغی، مرکز تحقیقات و آموزش کشاورزی و منابع طبیعی جنوب کرمان، سازمان تحقیقات، آموزش و ترویج کشاورزی، جیرفت، ایران
- ۱۰- استادیار، بخش تحقیقات علوم زراعی و باغی، مرکز تحقیقات و آموزش کشاورزی و منابع طبیعی مازندران، سازمان تحقیقات، آموزش و ترویج کشاورزی، ساری، ایران

تاریخ دریافت: ۱۴۰۲/۱/۲۸ تاریخ بازنگری: ۱۴۰۲/۱۰/۱۰ تاریخ پذیرش: ۱۴۰۲/۱۰/۱۷ تاریخ انتشار آنلاین: ۱۴۰۳/۰۲/۱۷

صفحه ۱۴ تا ۲۸

چکیده مسوط

**مقدمه و هدف:** ذرت یکی از مهمترین گیاهان زراعی است که در بسیاری از نقاط جهان کشت می‌شود. ارزیابی ژنوتیپ‌ها در برنامه‌های به‌نژادی اغلب با دو چالش مهم، اثر متقابل ژنوتیپ × محیط برای صفت هدف و روابط نامطلوب بین صفات هدف، روبرو است. علی‌رغم اینکه روش‌های زیادی برای تجزیه پایداری، به‌ویژه ابزارهای گرافیکی و کارایی نسبتاً خوب آنها در تفسیر نتایج، ارایه شده است. در این میان، به‌نظر می‌رسد روش بهترین پیش‌بینی‌های نارایب خطی (BLUP) که میانگین‌ها را با دقت بالا، به‌ویژه در مدل‌های مختلط تخمین می‌زند، برای ارزیابی داده‌های آزمایش‌های چندمحیطی (MET) از کارایی بالاتری برخوردار باشند. لذا با شاخص پایداری میانگین وزنی نمرات مطلق (WAASB) که از ادغام دو روش پایداری اثرات اصلی جمع‌پذیر و برهمکنش‌های ضرب‌پذیر (AMMI) و بهترین پیش‌بینی‌های نارایب خطی برآورد می‌گردد، می‌توان در آزمایش‌های چند محیطی پایداری ژنوتیپ‌ها را دقیق‌تر تخمین زد. در برنامه‌های به‌نژادی ذرت در کنار عملکرد دانه بالا، زودرسی دارای جایگاه ویژه‌ای است. برای انتخاب همزمان چند صفت یکی از کارآمدترین و جدیدترین روش‌ها، شاخص پایداری چندصفتی (MTSI) بوده که بر اساس میانگین عملکرد و پایداری همزمان ژنوتیپ‌ها در صفات و محیط‌های مختلف برآورد می‌گردد. لذا پژوهش حاضر با هدف تعیین هیبرید پایدار با عملکرد بالا به‌همراه سطح مطلوب صفات درصد رطوبت دانه هنگام برداشت، تعداد روز تا رسیدن فیزیولوژیکی با بهره‌گیری از ترکیب دو روش AMMI و BLUP با شاخص‌های WAASB، WAASBY و MTSI انجام گرفت.

**مواد و روش‌ها:** این پژوهش به‌منظور بررسی پایداری هفت هیبرید امیدبخش ذرت به‌همراه چهار رقم تجاری شامل SC647، TWC647، SC704 و SC715 در آزمایش چند محیطی ذرت در قالب طرح آزمایشی بلوک‌های کامل تصادفی در چهار تکرار در ۱۰ منطقه (کرج، مغان، شیراز، کرمانشاه، کرمان، مشهد، دزفول، میاندوآب، جیرفت و ساری) به‌مدت دو سال زراعی ۱۳۹۸ و ۱۳۹۹ انجام گرفت. در این بررسی صفات عملکرد دانه با رطوبت دانه ۱۴ درصد، درصد رطوبت دانه هنگام برداشت و تعداد روز تا رسیدن فیزیولوژیکی اندازه‌گیری شدند. پایداری ژنوتیپ برای هر ژنوتیپ با میانگین وزنی نمرات مطلق (WAASB)، که از تجزیه مقادیر منفرد (SVD) ماتریس بهترین پیش‌بینی‌های نارایب خطی (BLUP) از اثر متقابل ژنوتیپ × محیط که با یک مدل اثر مختلط خطی ایجاد شده بود، برآورد گردید. همچنین انتخاب همزمان برای عملکرد و پایداری با شاخص WAASBY یا دادن وزن‌های مختلف به میانگین عملکرد (Y) و شاخص پایداری (WAASB) انجام شد. علاوه بر این‌ها، انتخاب همزمان برای میانگین عملکرد و پایداری بر اساس چند صفت با استفاده از نمرات به‌دست آمده از یک تجزیه عاملی اکتشافی (شاخص پایداری چندصفتی) انجام گرفت.

**یافته‌ها:** بر اساس میانگین ۱۰ محیط در سال‌های زراعی ۱۳۹۸ و ۱۳۹۹، هیبرید امیدبخش شماره ۳ با ۱۲/۸۰ تن در هکتار بالاترین عملکرد دانه را داشت. بر اساس آزمون درست‌نمایی نسبی (LRT) برهمکنش ژنوتیپ و محیط برای صفات عملکرد دانه، درصد رطوبت دانه موقع برداشت و تعداد روز تا رسیدن فیزیولوژیکی معنی‌دار بود. لذا برآورد آماره‌های پایداری با روش BLUP امکان‌پذیر بود. بر همین اساس برآورد BLUP‌ها برای هیبریدها انجام و سپس تجزیه پایداری به‌روش AMMI بر روی این BLUP‌ها صورت گرفت. نتایج نشان داد دو مؤلفه اول و دوم به‌ترتیب ۲۷/۷ و ۲۴/۶ درصد از تغییرات برهمکنش هیبرید در محیط را توجیه کردند. بالاترین عملکرد دانه پیش‌بینی شده با روش BLUP مربوط به هیبریدهای شماره ۳، ۲، ۴ و ۱ بودند که عملکرد دانه پیش‌بینی شده بالاتر از میانگین کل داشتند. بر اساس بای‌پلات اولین مؤلفه اصلی محیط در برابر عملکرد اسمی، هیبریدهای شماره ۲، ۳، ۴ و ۱ با داشتن کمترین نمره‌های مؤلفه اصلی اول (ضریب b یا شیب خط)، سهم ناچیزی در برهمکنش هیبرید در محیط داشتند و پایدار تشخیص داده شدند. به‌منظور گزینش همزمان برای عملکرد و پایداری، شاخص WAASBY با تلفیق دو شاخص عملکرد (Y) و آماره پایداری WAASB برآورد گردید. با لحاظ سهم ۵۰ درصد برای هر یک از دو جزء عملکرد و پایداری، پنج هیبرید شماره ۱، ۲، ۳، ۴ و ۶ دارای WAASBY بالاتر از میانگین هیبریدها بودند. در این میان هیبریدهای شماره ۱، ۲ و ۳ به‌طور قابل توجهی میزان آماره WAASBY بالاتر از سایر هیبریدها داشتند. هر چهار رقم شاهد SC647، TWC647، SC704 و SC715 میزان آماره WAASBY کمتر از میانگین را داشتند. همچنین بر اساس شاخص پایداری چند صفتی (MTSI) نیز هیبرید شماره ۳ به‌عنوان برترین هیبرید انتخاب شد. علاوه بر اینها برآورد اجزای واریانس با روش درست‌نمایی محدود شده (REML) نشان داد برای عملکرد دانه، ۷۵/۷۲ و ۷/۵۷ درصد از واریانس فنوتیپی به‌ترتیب توسط واریانس محیطی و واریانس برهمکنش هیبرید در محیط توجیه شدند. در صورتی که سهم واریانس باقیمانده از واریانس فنوتیپی ۱۶/۷۷ درصد بود.

**نتیجه‌گیری کلی:** براساس نتایج حاصل هیبرید شماره ۳ (K47/2-2-1-4-2-1-1-1 × MO17) به‌عنوان هیبرید پر محصول و پایدار بود که می‌توان آن را جزء هیبرید برتر با عملکرد بالا به بهره‌برداران معرفی نمود. به‌نظر می‌رسد استفاده از نمودار نسبت شاخص پایداری WAASB به عملکرد دانه (WAASBY) و گزینش هیبرید برتر بر اساس شاخص MTSI با بهره‌گیری از تجزیه‌هایی همچون تجزیه عاملی، BLUP و AMMI توانایی شناسایی هیبریدهای با عملکرد دانه بالا، پایدار با سطح مطلوب صفات زراعی مهم دارا می‌باشد.

**واژه‌های کلیدی:** پایداری چندصفتی، پیش‌بینی، سازگاری، عملکرد دانه، گزینش همزمان

## مقدمه

عملکرد ذرت با اصلاح ارقام و روش‌های به‌زراعی به‌تدریج افزایش یافته است ولی این گیاه هنوز دارای استعداد و ظرفیت لازم برای جوآبگویی به عملیات به‌زراعی و به‌نژادی در جهت افزایش عملکرد است. انتخاب ژنوتیپ برتر براساس توانایی تولید و دامنه پایداری عملکرد آن در شرایط آب و هوایی مختلف صورت می‌گیرد. انتخاب هیبرید ذرت جهت کشت از مهم‌ترین تصمیماتی است که هر ساله یک ذرت کار بایستی بگیرد. تعادل صفاتی نظیر پتانسیل عملکرد، مقاومت در برابر بیماری، آفات و سایر شرایط محیطی در یک هیبرید از جمله عامل‌های مهمی هستند که باید مورد توجه قرار گیرد. عامل مهم دیگر گروه نسی رسیدگی است. در صورت یکسان بودن سایر شرایط زراعی، یک هیبرید تمام فصل می‌تواند از واحدهای گرمایشی موجود بیشتر بهره‌برده و عملکرد بالاتری را تولید نماید. با این حال تولیدکنندگان ممکن است به‌دلایل مختلف (از جمله خشکی، میزان آب در دسترس، آفات و بیماری) ترکیبی از هیبریدها در گروه متفاوت رسیدگی جهت کشت در یک منطقه استفاده نمایند. از جمله محدودیت‌های موجود برای کشت ذرت در مناطق مختلف، ضرورت انتخاب رقمی است که حدود یک تا دو هفته قبل از فرارسیدن دوره سرما به مرحله رسیدن فیزیولوژیک و قابلیت برداشت با رطوبت مناسب برسد. عملکرد دانه ذرت عموماً با افزایش طول دوره رشد بیشتر می‌شود. گرچه اثر رسیدن روی عملکرد دانه با توجه به منطقه مورد کاشت می‌تواند متفاوت باشد، اما اختلاف عملکرد بین گروه‌های مختلف رسیدگی معمولاً در کلیه مناطق ثابت است (Nardino et al., 2021; Piran et al., 2016). به‌طور کلی بررسی‌ها نشان داده است به‌ازای هر درجه افزایش در واحد رسیدگی نسبی حدود ۶۳ کیلوگرم در هکتار بر عملکرد دانه افزوده می‌شود. بنابراین در انتخاب هیبرید ذرت جهت کشت، هزینه اضافی جهت خشک کردن نیز باید لحاظ کرد. لذا در انتخاب هیبرید ترکیبی از عوامل اقلیمی و گیاهی را در نظر گرفت تا حداکثر بهروری در تولید به‌دست آید (Balestre et al., 2009; Moharramnejad et al., 2020).

ارزیابی ژنوتیپ‌ها در یک کار اصلاحی دو چالش مهم پیش روی دارد، اول، اثر متقابل ژنوتیپ × محیط برای صفت هدف و دوم، روابط نامطلوب بین صفات هدف. پژوهشگران روش‌های زیادی برای تجزیه پایداری ارائه داده‌اند که به دو دسته کلی پارامتری (تک متغیره یا چندمتغیره) و غیرپارامتری تقسیم می‌شوند (Sharifi, 2020b). در بین روش‌های چندمتغیره می‌توان روش اثرات اصلی جمع‌پذیر و اثر متقابل ضرب‌پذیر (Gauch and Zobel, 1997) و GGE بای‌پلات را نام برد. در تجزیه AMMI که حاصل تجزیه ارزش منفرد (SVD) بخش غیرافزایشی برهمکنش ژنوتیپ در محیط (GEI) است، ممکن است بخشی از تنوع در مؤلفه‌های اصلی آخر به‌عنوان نویز باقی بماند که در تجزیه‌ها به‌کار گرفته نمی‌شود (Sharifi, 2020a; Sharifi, 2020b). دلایل کاربرد گسترده روش AMMI، علاوه بر ارائه ابزارهای گرافیکی مناسب برای تفسیر آسان GEI، تخمین‌های دقیق‌تری است

که از ارزش‌های ژنوتیپی در مقایسه با ANOVA معمولی ارائه می‌دهد (Shiri, 2013). اخیراً، روش بهترین پیش‌بینی‌های ناریب خطی (BLUP) که میانگین‌ها را با دقت بالا، به‌ویژه در مدل‌های مختلط تخمین می‌زند، نیز برای ارزیابی داده‌های آزمایش‌های چند محیطی (MET) به‌کار گرفته شده است (Donoso-Nanculao et al., 2016; Gauch, 1988; Gauch and Zobel, 1997; Nardino et al., 2016). در حال حاضر، پژوهش‌های اندکی در رابطه با تخمین ارزش‌های ژنوتیپی در آزمایش‌های چندمحیطی با BLUP گزارش شده است (Donoso-Nanculao et al., 2016; Liu et al., 2017; Mohaddesi et al., 2022). اما مدل سازی الگوهای برهمکنش ژنوتیپ در محیط بیشتر با روش‌های تجزیه GGE بای پلات و AMMI انجام شده است (Akter et al., 2014; Bole et al., 2014a; Smith et al., 2005). در روش ارائه شده توسط اولیوتو و همکاران (Olivoto et al., 2019b) برای بهره‌گیری از مزایای دو روش AMMI و BLUP، با مدل اثرهای مختلط خطی، یک ماتریس برهمکنش ژنوتیپ در محیط به‌دست می‌آید و از تجزیه این ماتریس با روش تجزیه مؤلفه‌های اصلی یا تجزیه ارزش منفرد، یک معیار پایداری ژنوتیپی به‌نام شاخص پایداری میانگین وزنی نمرات مطلق بهترین پیش‌بینی‌های ناریب خطی (WAASB) معرفی شد که حاصل تلفیق دو روش AMMI و BLUP است (Mohaddesi et al., 2017; Nardino et al., 2016). از طرفی، آنچه امروزه پژوهشگران در به‌نژادی گیاهان زراعی به‌دنبال آن هستند، تلفیق پایداری با عملکرد برای دستیابی به ژنوتیپ‌های پایدار و دارای عملکرد بالا است که در آن تلاش می‌شود، هر دو صفت عملکرد و پایداری هم‌زمان در نظر گرفته شوند تا علاوه بر کاهش برهمکنش ژنوتیپ در محیط، ژنوتیپ‌های با عملکرد بالا انتخاب شوند. اولیوتو و همکاران (Olivoto et al., 2019b)، معیار میانگین وزنی شاخص پایداری WAASB و متغیر وابسته (WAASBY) را معرفی کردند که گزینش ژنوتیپ‌ها را برای میانگین عملکرد دانه و پایداری عملکرد دانه، به‌طور هم‌زمان انجام می‌دهد و در آن، بسته به‌هدف به‌نژادگر می‌توان وزن‌های متفاوتی به هر کدام از دو شاخص میانگین عملکرد یا پایداری داد.

روابط نامطلوب بین صفات کلیدی نشأت گرفته از این واقعیت است که معمولاً صفات هدف همبستگی معکوس با یکدیگر دارند، به‌طوری که بهبود در یک صفت اغلب به کاهش در یک یا بیش از یک صفت منجر می‌شود (Smith et al., 2005). عملکرد مهم‌ترین صفت است و دیگر صفات تنها زمانی اهمیت دارند که با عملکرد دانه بالا همراه باشند. در صورتی ارزش اقتصادی یک صفت بالاتر است که با عملکرد بیشتر همراه باشد. در واقع، هدف به‌نژادی ترکیب عملکرد بالا و قابل قبول با سطوح مطلوب دیگر صفات در ژنوتیپ می‌باشد (Smith et al., 2005; Bornhofen et al., 2017). استفاده از چنین ویژگی‌هایی، اولیوتو و همکاران (Olivoto et al., 2019b)، شاخصی با نام شاخص پایداری چند صفتی (MTSI) را بر مبنای تجزیه عاملی معرفی کردند که در آن

### مواد و روش‌ها

در این آزمایش، تعداد هفت هیبرید جدید دیررس و میان‌رس به‌همراه چهار رقم شامل SC647، TWC647، SC704 و SC715 (جدول ۱) در قالب طرح بلوک‌های کامل تصادفی با چهار تکرار در ۱۰ منطقه مختلف کشور ایران شامل کرج، شیراز، کرمانشاه، کرمان، مغان، مشهد، میان‌دوب، دزفول، جیرفت و مازندران طی سال‌های زراعی ۱۳۹۸ و ۱۳۹۹ مورد بررسی قرار گرفتند. هر کرت با یک هیبرید در چهار ردیف به فاصله ۷۵ سانتی‌متر و ۱۶ کپه به فاصله ۳۵ سانتی‌متر کشت شد که با احتساب دو بوته در هر کپه، تراکم ۷۶ هزار بوته در هکتار رعایت شد. در هر کپه جهت اطمینان از تراکم مورد نظر چهار بذر کشت شد که پس از تنک کردن در مرحله چهار الی پنج برگی، دو بوته در هر کپه نگهداری شد. در مرحله رسیدگی ۱۰ بلال تصادفی در هر کرت برداشت و درصد چوب بلال و درصد رطوبت دانه اندازه‌گیری شدند. سپس عملکرد دانه دو خط وسط هر کرت براساس درصد چوب بلال و رطوبت دانه ۱۴ درصد تصحیح و به تن در هکتار تبدیل و در تجربه‌های آماری استفاده شد.

عملکرد دانه و همه صفات اندازه‌گیری شده‌ی دیگر و پایداری هر کدام از آنها به‌طور هم‌زمان ارزیابی می‌شوند. در تحقیقات ذرت کشور در کنار عملکرد دانه بالا زودرسی دارای جایگاه ویژه‌ای است. در مرحله رسیدن فیزیولوژیک دانه ذرت به حداکثر رشد و وزن خود می‌رسد اما نمی‌توان در این مرحله دانه ذرت را برداشت کرد چرا که هزینه برداشت و هزینه خشک کردن بسیار بالا خواهد بود (Ahmadi *et al.*, 2019). لذا به‌علت هزینه‌های خشک کنی، تقاضا برای ذرت‌هایی که سریع‌تر خشک می‌شوند، رو به افزایش است. سرعت خشک شدن بعد از رسیدن فیزیولوژیک تا حد زیادی به ژنوتیپ و رقم بستگی دارد. همچنین از نقطه نظر زارعی نیز زمان برداشت دانه در مقایسه زمان رسیدن دانه اهمیت بیشتری دارد. لذا برای افزایش عملکرد دانه در واحد سطح و افزایش تولید و بهره‌وری تولید ذرت، بایستی انتخاب هم‌زمان برای عملکرد، تعداد روز تا رسیدن فیزیولوژیک و تعداد روز لازم تا رسیدن به رطوبت دانه قابل برداشت صورت گیرد. هدف از پژوهش حاضر، تعیین هیبرید پایدار با عملکرد بالا و مطلوب به‌همراه صفات رطوبت دانه هنگام برداشت، تعداد روز تا رسیدن فیزیولوژیک حائز اهمیت در هیبریدهای امیدبخش ذرت، با بهره‌گیری از ترکیب دو روش AMMI و BLUP با شاخص‌های WAASBY و MTSI بود.

جدول ۱- مشخصات هیبریدهای ذرت مورد مطالعه

Table 1. Characteristics of studied maize hybrids

شماره No.	کد Code	شجره Pedigree
1	H1	K47/2-2-1-2-2-1-1-1× MO17
2	H2	K47/2-2-1-4-1-1-1× MO17
3	H3	K47/2-2-1-4-2-1-1-1× MO17
4	H4	K47/2-2-1-4-1-1-1-1 × K3640/3
5	H5	KLM82010/1 × K3640/3
6	H6	KLM82010/2 × K3640/3
7	H7	KLM77021/4-1-2-1-2-4-1× K47/3
8	H8	SC715
9	H9	SC647
10	H10	TWC647
11	H11	SC704

(Y) و شاخص پایداری (WAASB) با رابطه (۲) وزن داده می‌شود (Olivoto *et al.*, 2019b).

$$\text{WAASBY}_i = \frac{W_Y \times \left[ \left( \frac{GY_i}{GY_{\max}} \right) \times 100 \right] + \left[ W_S \times \left( 100 - \frac{WAASB_i}{WAASB_{\min}} \right) \right]}{W_Y + W_S} \quad (2)$$

که در آن،  $WAASBY_i$ ، میانگین وزنی پایداری (WAASB) و عملکرد دانه (GY) برای ژنوتیپ  $W_Y$ ، وزن داده شده به متغیر پاسخ (در این مورد، عملکرد دانه)  $GY_i$ ، میانگین عملکرد دانه ژنوتیپ  $W_S$  با توجه به تمام محیط‌ها  $GY_{\max}$ ، بالاترین متوسط عملکرد دانه مشاهده شده  $W_S$ ، وزن نسبت داده شده به شاخص پایداری (در این مورد، شاخص WAASB)  $WAASB_i$ ، میانگین وزنی نمرات مطلق ژنوتیپ  $WAASB_{\min}$ ، کمترین مقدار WAASB مشاهده شده در بین ژنوتیپ‌ها است.

انتخاب هم‌زمان برای میانگین عملکرد و پایداری بر اساس چند صفت با استفاده از نمرات به‌دست آمده از یک تجربه عاملی اکتشافی انجام شد. تخمین شاخص پایداری چندصفتی

پایداری ژنوتیپی برای هر ژنوتیپ با میانگین وزنی نمرات مطلق (WAASB)، از تجزیه مقادیر منفرد (SVD) ماتریس بهترین پیش‌بینی‌های ناآزب خطی (BLUP) از اثرات (GEI) که با یک مدل اثر مختلط خطی ایجاد شده بود، با رابطه (۱) کمی شد (Olivoto *et al.*, 2019b; Sharifi *et al.*, 2017).

$$\text{WAASB}_i = \frac{\sum_{k=1}^p |IPCA_{ik} \times EP_k|}{\sum_{k=1}^p EP_k} \quad (1)$$

که در آن،  $WAASB_i$ ، میانگین وزنی نمرات مطلق ژنوتیپ  $IPCA_{ik}$ ، نمره ژنوتیپ  $AM$  در  $k$ امین محور مؤلفه اصلی برهمکنش (IPCA) و  $EP_k$ ، مقدار واریانس توجیه شده توسط  $k$ امین IPCA است. ژنوتیپ با کمترین مقدار  $WAASB$  پایدار در نظر گرفته می‌شود (Mohaddesi *et al.*, 2017; Nardino *et al.*, 2016; Olivoto *et al.*, 2019a).

انتخاب هم‌زمان برای عملکرد و پایداری (MPS) با شاخص WAASBY انجام شد که در آن به میانگین عملکرد

واریانس برهمکنش هیبرید در محیط، فقط ۷/۵۷ درصد از واریانس فنوتیپی را توجیه نمود. در صورتی که سهم واریانس باقیمانده ۱۶/۷۷ درصد بود (جدول ۲).

با توجه معنی‌دار شدن اثر برهمکنش هیبرید در محیط (GEI) می‌توان گفت نمود فنوتیپی یک هیبرید از یک محیط به محیطی دیگر دارای تغییرات می‌باشد، لذا با پیش‌بینی‌های ناریب خطی به‌روش تجزیه BLUP (برآورد بهترین پیش‌بینی‌های ناریب خطی) می‌توان برآورد دقیق‌تری از نمود فنوتیپی ژنوتیپ‌ها داشت (Olivoto et al., 2019b). بر همین اساس برآورد BLUPها برای هیبریدها انجام و سپس تجزیه پایداری به‌روش AMMI بر روی این BLUPها انجام گرفت. پژوهشگران دیگری نیز برهمکنش معنی‌دار هیبرید در محیط را بر عملکرد دانه و اجزای آن در ذرت با تجزیه واریانس به‌روش کمترین مربعات گزارش کرده‌اند (Bose et al., 2014a; Katsenios et al., 2021; Kempton, 1984; Samonte et al., 2013; Shiri, 2013). آزمایش‌های چندمحیطی از مراحل پایانی و ضروری اغلب برنامه‌های به‌نژادی بوده در این آزمایش‌ها افزایش دقت پیش‌بینی (میزان نزدیکی مقدار پیش‌بینی شده با مقدار مشاهده شده)، برای گزینش موفقیت‌آمیز هیبریدها، توصیه ارقام و مشخص کردن ابر محیطها بسیار مهم است (Olivoto et al., 2019b). برای افزایش دقت پیش‌بینی در آزمایش‌های چندمحیطی سه رهیافت، استفاده از مدل‌های آماری با توانایی پیش‌بینی بهتر، بهبود تکنیک‌های آزمایشی (همچون بهره‌گیری از طرح‌هایی با اندازه و شکل ایده‌آل، اجرای دقیق طرح‌های آزمایش در مناطق اجرا با مدیریت زراعی یکنواخت) و افزایش تعداد تکرارها (با استفاده از طرح‌های مناسب همچون طرح‌های چندعاملی) پیشنهاد شده است (Gauch and Zobel, 1988; Olivoto et al., 2019b).

به‌منظور بهره‌گیری از مزیت‌های مدل آماری BLUP (از جمله برآورد میانگین‌ها را با دقت بالا به‌ویژه در مدل‌های مختلط و پیش‌بینی دقیق اثرات تصادفی در صورت وجود اثر مختلط خطی) (Smith et al., 2005)، پیش‌بینی مقادیر عملکرد دانه با این روش انجام گرفت. مقایسه میانگین‌های پیش‌بینی شده عملکرد دانه نشان داد که هیبریدهای شماره ۳، ۲، ۴ و ۱ بالاترین میانگین پیش‌بینی شده را داشتند (شکل ۲). این چهار هیبرید با توجه به عدم همپوشانی میله‌های خطای افقی آنها با هیبرید شماره ۱ اختلاف معنی‌دار با آنها داشتند، اما اختلاف معنی‌داری با دیگر هیبریدها از نظر میانگین‌های پیش‌بینی شده برای عملکرد دانه مشاهده نگردید.

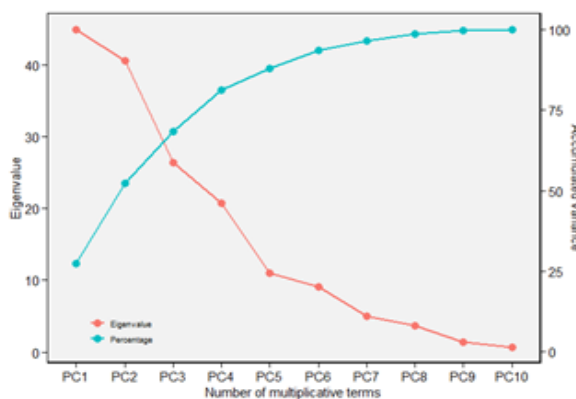
(MTSI)، بر طبق معادله (۳) انجام شد (Olivoto et al., 2019b; Olivoto et al., 2017).

$$\text{MTSI}_i = \left[ \sum_{j=1}^f (F_{ij} - F_i)^2 \right]^{0.5} \quad \text{رابطه (۳)}$$

که در آن، MTSI، شاخص پایداری چندصفتی برای ژنوتیپ  $F_{ij}$ ، نمره ژنوتیپ  $F_i$  و  $F_j$ ، نمره ژنوتیپ ایده‌آل است. ژنوتیپ با کمترین مقدار MTSI، به ژنوتیپ ایده‌آل نزدیکتر است و بنابراین میانگین عملکرد و پایداری (MPS) بالایی را برای همه متغیرهای بررسی شده ارائه می‌دهد. دیفرانسیل یا تفاوت انتخاب برای میانگین عملکرد و WAASB (شاخص WAASBY) برای هر صفت با شدت انتخاب ۱۵ درصد محاسبه شد (Mohaddesi et al., 2017; Nardino et al., 2016; Olivoto et al., 2019a). جنبه دیگری از تلفیق دو روش AMMI و BLUP، بهره‌گیری از ابزارهای گرافیکی تجزیه AMMI در شاخص‌های برآورد شده است به‌طوری‌که برای کمک به تفسیر چشمی، گراف‌هایی جهت نشان دادن میانگین متغیر پاسخ در برابر WAASB ایجاد شدند. همچنین نموداری برای سنجش و گزینش ژنوتیپ‌ها براساس شاخص MTSI فراهم شد (Olivoto et al., 2019b). تمام تجزیه‌های آماری با استفاده از بسته تجزیه آزمایش‌های چند محیطی با نام Multi (metan Ver. 1.9.0 environment trial analysis) (Olivoto et al., 2017) در محیط نرم‌افزار R انجام شد.

## نتایج و بحث

به‌منظور تعیین تعداد مؤلفه‌های توجیه‌کننده برهمکنش‌ها از آزمون اسکریت استفاده گردید. نتایج این آزمون نشان داد چهار مؤلفه اصلی اول سهم قابل‌توجهی در توجیه برهمکنش هیبرید در محیط حاصل از BLUP را برای عملکرد دانه داشتند (شکل ۱) و براساس آزمون اثر آنها معنی‌دار بود. با این حال سهم دو مؤلفه اصلی پنجم و ششم نیز در توجیه برهمکنش تا حدودی بالا بود ولی از نظر آزمون F اثر آنها غیر معنی‌دار بود. در این میان دو مؤلفه اول و دوم به‌ترتیب ۲۷/۷ و ۲۴/۶ درصد از تغییرات برهمکنش هیبرید در محیط را توجیه کردند. اثر محیط و همچنین برهمکنش هیبرید در محیط برای عملکرد دانه، درصد رطوبت دانه موقع برداشت و تعداد روز تا رسیدن فیزیولوژیک براساس آزمون نسبت درست‌نمایی (LRT) معنی‌دار بود (جدول ۲). برآورد نسبت اجزای واریانس برآورد شده با روش درست‌نمایی محدود شده (REML) به واریانس فنوتیپی نشان داد برای عملکرد دانه، ۷۵/۷۲ درصد از واریانس فنوتیپی توسط واریانس محیطی توجیه گردید، در حالی‌که



شکل ۱- مقادیر ویژه ماتریس GEI\_BLUP برای عملکرد دانه  
Figure 1. Eigen values of the BLUP\_GEI matrix for grain yield

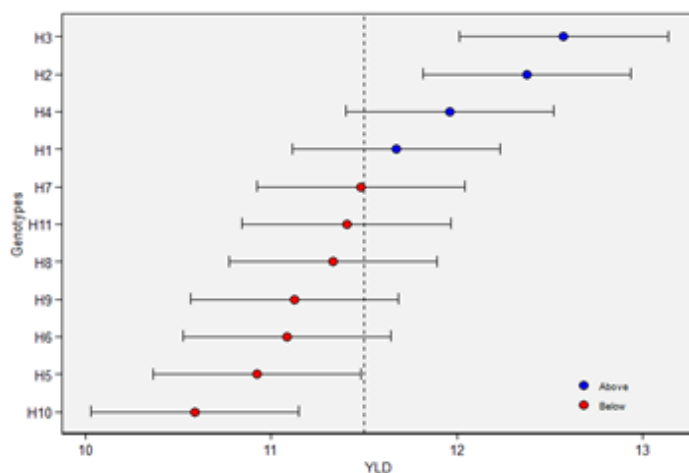
جدول ۲- ارزیابی معنی‌داری فاکتورها در مدل مختلط برای اثرهای تصادفی با آزمون نسبت درست‌نمایی و برای اثر ثابت هیبرید با تجزیه واریانس و برآورد اجزای واریانس با روش حداکثر درست‌نمایی محدود شده برای صفات مطالعه شده

Table 2. Evaluation significance of factors for random effects by LRT ( $\chi^2$ ) and for fixed effects by ANOVA and estimation of variance components by REML for studied traits

آزمون نسبت درست‌نمایی Likelihood ratio test			آماره Statistics
عملکرد دانه Grain yield	درصد رطوبت دانه هنگام برداشت GMP	تعداد روز تا رسیدگی فیزیولوژیکی DPM	
7.3*	5.7**	179.6**	Genotype (G)
			Model
25.1**	40.0**	291.0**	Environment (E)
106.0**	72.5**	3.72**	G × E
Variance components Estimates (%)			Variance components estimates by REML
12.7 (75.72%)	12.8 (74.13%)	0.421 (22.19%)	$\sigma^2_e$
0.353 (2.10%)	0.518 (3.00%)	0.011 (0.56%)	$\sigma^2_{E/block}$ variance
1.27 (7.57%)	1.10 (6.37%)	0.086 (4.53%)	$\sigma^2_i$
2.45 (14.61%)	2.85 (16.50%)	1.38 (72.73%)	$\sigma^2_{Residual}$
16.77	17.27	1.90	$\sigma^2_P$

ns, \* و \*\*: به ترتیب غیرمعنی‌دار و معنی‌دار در سطح احتمال پنج و یک درصد

ns, \* and \*\*: Non-significant, significant at 5% and 1% probability levels, respectively



شکل ۲- عملکرد دانه پیش‌بینی شده (بهترین پیش‌بینی ناریب خطی، BLUP) برای ۱۱ هیبرید ذرت (دایره‌های آبی و قرمز به ترتیب هیبریدهایی را نشان می‌دهند که دارای BLUP بالاتر و پایین‌تر از میانگین BLUP بودند. میله‌های خطی افقی نشانگر فاصله اطمینان ۹۵ درصد از پیش‌بینی با آزمون t دو طرفه است)

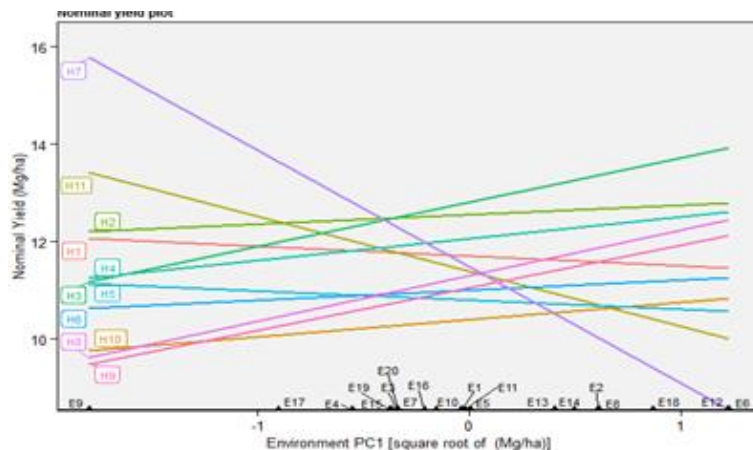
Figure 2. Predicted grain yield (best linear unbiased prediction, BLUP) for 11 maize hybrids (Blue and red circles represent the hybrids that had BLUP above and below of BLUP means, respectively. Horizontal error bars represent the 95% confidence interval of prediction considering a two-tailed t test)

نمره اولین مؤلفه اصلی محیط و در محور Y، عملکرد اسمی هیبریدها جای گرفته است (شکل ۳). در این نمودار، برای هر کدام از هیبریدها، می‌توان یک خط با معادله  $y=bx+a$

بای پلات اولین مؤلفه اصلی محیط در برابر عملکرد اسمی، شکل دیگری از بای پلات چندضلعی یا "کدام - برنده - کجا" (Olivoto *et al.*, 2019b) است که در محور X آن،

نمودار، ارزیابی سازگاری خصوصی است که طی آن هیبریدهای مطلوب برای هر کدام از محیط‌ها معرفی می‌شوند که برای مثال هیبرید شماره ۷ و ۱۱ مناسب‌ترین هیبرید در محیط ۹ بودند. همچنین هیبرید پر محصول شماره ۳ در ۱۳ محیط از ۲۰ محیط بالاترین عملکرد دانه را داشت. باید به این نکته توجه شود که رسم این نمودار براساس اولین مؤلفه اصلی است که فقط ۲۷/۷ درصد از تغییرات برهمکنش هیبرید در محیط را توجیه می‌کند. از این‌رو، تجزیه‌های تکمیلی براساس سایر شاخص‌ها ارائه شده است که در برآورد آنها از نمره‌های تمام مؤلفه‌ها بهره گرفته شده است. پژوهشگران دیگری نیز از روش بای‌پلات "کدام - برنده - کجا" برای شناسایی هیبریدهای با پایداری عمومی و یا سازگار به محیط‌های ویژه، با روش GGE بای‌پلات (Donoso-Nanculao *et al.*, 2016) یا بای‌پلات مبتنی بر دو مؤلفه اصلی اول در روش AMMI2 (AMMI2 biplot) استفاده کردند (Balestre *et al.*, 2009; Samonte *et al.*, 2017; Sharifi *et al.*, 2005). از نظر یک به‌نژادگر که علاقمند به بهره‌گیری از هیبریدهای مطلوب برای محیط‌های ویژه‌ای است، تفسیر نمودار عملکرد اسمی (شکل ۳) ممکن است توصیه هیبریدهای هدفمند را برای محیط‌های ویژه آسان کند. از این‌رو، این نمودار بای‌پلات می‌تواند برای سازگاری‌های خصوصی هیبریدها به محیط‌های ویژه به‌کار گرفته شود. این تفسیر از آنجا مهم است که در بیشتر موارد، هیچ هیبریدی در همه‌جا و همیشه برتر نیست و نیاز است هیبریدهایی با سازگاری خصوصی با هر محیط معرفی شوند (Olivoto *et al.*, 2019b).

نوشت که در آن  $x$ ، نمره محور مؤلفه اصلی اول محیطی (IPCA1)؛  $a$ ، میانگین کل هر هیبرید و  $b$ ، اولین مؤلفه اصلی (IPCA1) هر هیبرید است. هیبریدهای شماره ۲، ۶، ۳ و ۱ با توجه به کمترین نمره‌های مؤلفه اصلی اول (ضریب  $b$  یا شیب خط)، سهم ناچیزی در برهمکنش هیبرید در محیط داشتند و بنابراین از پایداری بیشتری برخوردار بودند، حال آنکه هیبریدهای ۷، ۸ و ۹ در محیط‌های مختلف، عملکرد متفاوتی داشتند و ناپایدار بودند. هیبریدهای ۱ و ۲ با توجه به میانگین عملکرد دانه‌ی بالا در تمام محیط‌ها، عملکرد اسمی بیشتری نیز بر اساس پیش‌بینی با BLUP داشتند. با توجه به نمره هر هیبرید در اولین محور مؤلفه اصلی (IPCA1) یا همان ضریب  $b$ ، هیبریدهای ۲ و ۳ به دلیل داشتن شیب خط کمتر، جزء هیبریدهای پایدار و به دلیل داشتن عملکرد اسمی بیشتر، از برترین هیبریدها بودند. بررسی همزمان این نمودار با شکل ۲ (پیش‌بینی عملکرد با BLUP) نشان می‌دهد که این دو هیبرید بالاترین میانگین پیش‌بینی شده را داشتند. از طرف دیگر هیبریدهای شماره ۱۱ و ۸ با آنکه میانگین پیش‌بینی شده مشابهی داشتند (شکل ۲)، اما الگوی خط آنها (شکل ۳) کاملاً متفاوت بود. دلیل آن این است که نمره IPCA1 هیبرید شماره ۱۱ برابر با ۱/۱۳ - و هیبرید شماره ۸ برابر با ۰/۹۴ بود که نشان دهنده ناپایداری برای هیبرید ۱۱ و پایداری هیبرید شماره ۸ است. از مقایسه این دو شکل همچنین دیده شد که هیبرید شماره ۱ با وجود آنکه، جزء هیبریدهای با میانگین پیش‌بینی شده بالا بود (شکل ۲)، اما معادله خط آن دارای شیب نزولی در مقایسه با دیگر هیبریدهای پایدار بود. از دیگر کاربردهای این



شکل ۳- نمودار عملکرد اسمی دانه برای ۱۱ هیبرید ذرت به‌عنوان تابعی از نمرات اولین محور مؤلفه اصلی محیطی (IPCA1) برهمکنش  
Figure 3. Nominal grain yield plot for 11 maize hybrids as a function of the environment scores of the first interaction principal component axis (IPCA1)

متوسط (به‌ویژه هیبریدهای ۷، ۸ و ۱۱)، به دلیل داشتن بالاترین مقادیر WAASB ناپایدار بودند، اما می‌توان سازگاری ویژه را برای هیبریدهای این ناحیه نسبت به برخی از محیط‌ها بررسی کرد. به‌طوریکه هیبریدهای ۹، ۷، ۸، ۱۱، ۵ و ۱۰ را می‌توان برای هر کدام از محیط‌های ۱۷، ۹ و ۳ سازگار دانست (شکل ۴). همچنین محیط‌های ۱۷ و ۹ به دلیل دارا بودن بیشترین شاخص پایداری WAASB، دارای توانایی شناسایی یا تشخیص بالایی بود. در چارک دوم (ربع II)، هیبریدهای شماره

بای‌پلات نوع سوم (عملکرد دانه در برابر میانگین وزنی نمرات مطلق (WAASB) به چهار ناحیه یا چارک تقسیم شد (شکل ۴) که در آن تفسیر هم زمان برای میانگین عملکرد دانه و پایداری با شاخص WAASB انجام می‌شود. هیبریدها یا محیط‌های واقع در چارک اول (ربع I) با توجه به سهم زیادشان در برهمکنش هیبرید در محیط، هیبریدهای ناپایدار یا محیط‌هایی با توانایی شناسایی بالا و دارای عملکرد کمتر از متوسط، هیبریدهای این ناحیه با وجود عملکرد نزدیک به

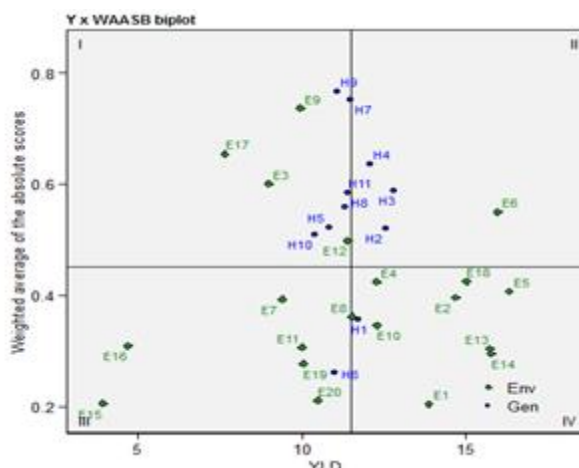
چندمحیطی نیز از آن بهره‌گیری شود (Olivoto *et al.*, 2019b; Olivoto *et al.*, 2017).

مطابق نتایج شکل (۵)، هیبریدها با معیار WAASBY گروه‌بندی شده‌اند که در آن، گزینش همزمان براساس میانگین عملکرد دانه (Y) و شاخص پایداری WAASB انجام می‌گیرد. در معیار WAASBY می‌توان وزن‌های متفاوتی به عملکرد دانه (GY) و شاخص WAASB داد. در این پژوهش، از وزن ۵۰:۵۰ برای هر دو شاخص استفاده شد که بیانگر آن است که پایداری و عملکرد دانه هر دو به یک میزان دارای اهمیت هستند. بر این اساس، مقدار WAASBY هیبریدهای شماره ۱، ۲، ۳، ۴ و ۶ بیشتر از متوسط بود (شکل ۵) و هیبریدهای پایدار و با عملکرد دانه بالا بودند. نتایج این قسمت با نتایج شکل (۴) مطابقت خوبی نداشت به‌طوری‌که فقط هیبرید شماره ۱ با جای گرفتن در چارک چهارم شکل (۴)، در میان هیبریدهای برتر از نظر عملکرد دانه و پایداری بود. به‌نظر می‌رسد این آماره کارایی بالاتری در تفکیک هیبریدهای پایدار با عملکرد بالا نسبت به بای‌پلات WAASB×GY دارد، چرا که همه هیبریدهای مورد گزینش عملکرد بالاتر و پایداری خوبی در شکل (۳) نیز داشتند.

شاخص WAASB که توسط اولیوتو و همکاران (Olivoto *et al.*, 2019b) ارائه شده است، همچون شاخص‌های پایداری AMMI (مانند ASV)، تابعی از اجزای الگوی برهمکنش هیبرید در محیط است (البته با این تفاوت که تجزیه AMMI بر روی بهترین پیش‌بینی‌های نازیب خطی برهمکنش‌ها انجام شده است نه داده‌های اصلی)، اما نسبت به آنها مزایایی دارد (Olivoto *et al.*, 2019b). از جمله اینکه با توجه به مبتنی بر مدل اثر مختلط بودن این شاخص، دقت پیش‌بینی آن بیشتر از مدل‌های اثر ثابت - یا حتی یک مدل تصادفی است. مزیت دوم شاخص WAASB، این است که به‌جای مربع انحرافات در ASV، بر انحراف‌های مطلق استوار است، بنابراین، به‌دلیل حساسیت کمتر نسبت به داده‌های پرت، از قدرت بیشتری برخوردار است. سوم اینکه، شاخص WAASB در کمی کردن پایداری در ساختارهای پیچیده GEI واقع بینانه‌تر است، زیرا با توجه به همه محورهای مؤلفه‌های اصلی (IPCAها) معنی‌دار محاسبه می‌شود. چهارم اینکه، برخلاف SIPC (یکی دیگر از شاخص‌های پایداری AMMI) مجموع مقادیر مطلق نمرات IPCA را در نظر می‌گیرد، WAASB، میانگین وزنی نمرات IPCA را در نظر می‌گیرد و بنابراین نتایج قابل اطمینان‌تر خواهند بود، زیرا نمرات بالا در آخرین محورها سهم کمتری در تخمین دارند. سرانجام بای‌پلات WAASB×GY (شکل ۴) تفسیر همزمان پایداری و عملکرد را در یک شکل دوبعدی با در نظر گرفتن تمام IPCهای مدل امکانپذیر می‌کند (Olivoto *et al.*, 2019b).

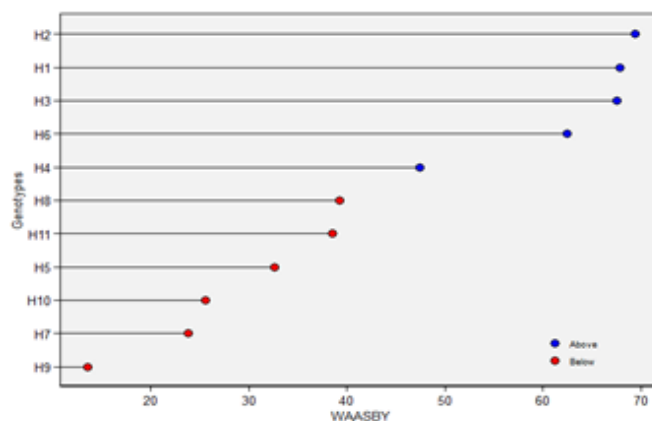
۳، ۲ و ۴ با وجود داشتن عملکرد بالاتر از میانگین کل، به‌دلیل مقدار بالای WAASB، ناپایدار تشخیص داده شدند. محیط‌های موجود در این ناحیه (در اینجا E6)، از قابلیت تمایز و تشخیص بالایی برخوردار بودند. هیبریدهای موجود در چارک سوم (ربع III)، دارای عملکرد کمتر از میانگین کل بودند، اما به‌دلیل پایین بودن مقادیر WAASB می‌توان آنها را پایدار در نظر گرفت. در این ناحیه، هیبرید شماره ۶ جای دارد. این هیبرید براساس شیب خط در شکل (۳) از بالاترین پایداری نیز برخوردار بود. هرچه مقدار WAASB پایین‌تر باشد، هیبرید پایدارتر خواهد بود. محیط‌های این ناحیه محیط‌های با قابلیت تشخیص پایین و دارای عملکردی ضعیف هستند. هیبریدهای واقع در چارک چهارم (ربع IV) به‌دلیل بزرگی متغیر پاسخ (داشتن عملکرد بالا) و پایداری بالا (مقادیر پایین WAASB) بسیار پرمحصول و دارای پایداری گسترده‌ای بودند. در این ناحیه هیبرید شماره ۱ جای گرفت (شکل ۴). هیبرید شماره ۱، علیرغم داشتن به شیب خط نسبتاً نزولی در شکل (۳)، بر اساس شاخص WAASB پایدارترین هیبرید تشخیص داده شد. چون در محاسبه شاخص WAASB، از تمامی مؤلفه‌های اصلی معنی‌دار استفاده شده است، پایداری را به شکل بهتری نشان می‌دهد و هیبریدهای برگزیده با این شاخص از پایداری مطمئن‌تری برخوردار هستند (Olivoto *et al.*, 2019b; Samonte *et al.*, 2005; Sharifi *et al.*, 2021).

بای‌پلات AMMI و نمای "برتری هر هیبرید در کدام محیط" (شکل ۳) برای شناسایی هیبریدهای سازگار برای محیط‌های ویژه کاربرد دارد، اما بای‌پلات متغیر پاسخ WAASB×(GY) (شکل ۴) که تفسیر همزمان پایداری و عملکرد (یا هر متغیر پاسخ دیگری) را انجام می‌دهد، می‌تواند برای سازگاری‌های گسترده و شناسایی هیبریدهای پایدار برای تمام محیط‌ها به‌کار رود (Olivoto *et al.*, 2019b). مهمترین مزیت این بای‌پلات نسبت به بای‌پلات AMMI که توسط بسیاری از پژوهشگران برای تجزیه پایداری ذرت استفاده شده است (Olivoto *et al.*, 2019b; Samonte *et al.*, 2005; Sharifi *et al.*, 2021)، این است که در محاسبه آن از همه محورهای IPCA استفاده می‌شود، بنابراین اجازه می‌دهد تا آن بخشی از برهمکنش هیبرید در محیط که در IPCA1 بروز پیدا نکرده است، در رتبه‌بندی هیبریدها لحاظ شوند (Olivoto *et al.*, 2019b). از دیدگاه یک به‌نژادگر، فراتر از مزایای گفته شده درباره بای‌پلات WAASB×GY، رویکرد مدل مختلط امکان تخمین پارامترهای مهم در ژنتیک کمی همچون واریانس‌های هیبریدی، برهمکنش هیبرید در محیط، وراثت‌پذیری عمومی، وراثت‌پذیری براساس میانگین و همبستگی‌های ژنتیکی واریانس را هم فراهم می‌کند. این اطلاعات در یک برنامه به‌نژادی گیاهی ضروری است و باید در ارزیابی آزمایش‌های



شکل ۴- بای پلات عملکرد دانه در مقابل میانگین وزنی نمرات مطلق برای بهترین پیش بینی های نارایب خطی از برهمکنش هیبریدها با محیط (WAASB) از ۱۱ هیبرید ذرت در نه محیط ارزیابی شده با ترکیب دو سال زراعی با ۱۰ مکان (یک هیبرید فرضی بسیار پر محصول و کاملاً پایدار با یک دایره سیاه در گوشه سمت راست نشان داده شده است. فلش های افقی و عمودی سیاه در گوشه سمت چپ به ترتیب جهت افزایش عملکرد و پایداری را نشان می دهد)

Figure 4. Biplot of the grain yield vs. weighted average of absolute scores for the best linear unbiased predictions of the genotype vs environment interaction (WAASB) of 11 maize hybrids evaluated in 10 environments with combinations of three cultivation years in three locations (A hypothetical highly productive and broadly adapted genotype in the right corner is depicted by a black circle. Horizontal and vertical black arrows in the left corner indicate the direction of the increase in yielding and stability, respectively)



شکل ۵- مقادیر برآورد شده از میانگین وزنی پایداری (WAASB) و میانگین عملکرد (Y) (WAASBY) برای ۱۱ هیبرید ذرت با توجه به وزن در نظر گرفته شده ۵۰ و ۵۰ برای عملکرد و پایداری

Figure 5. Estimated values of weighted average of the stability (WAASB) and mean performance (Y) (WAASBY) for 11 maize hybrids considering the weights of 50 and 50 for yielding and stability, respectively

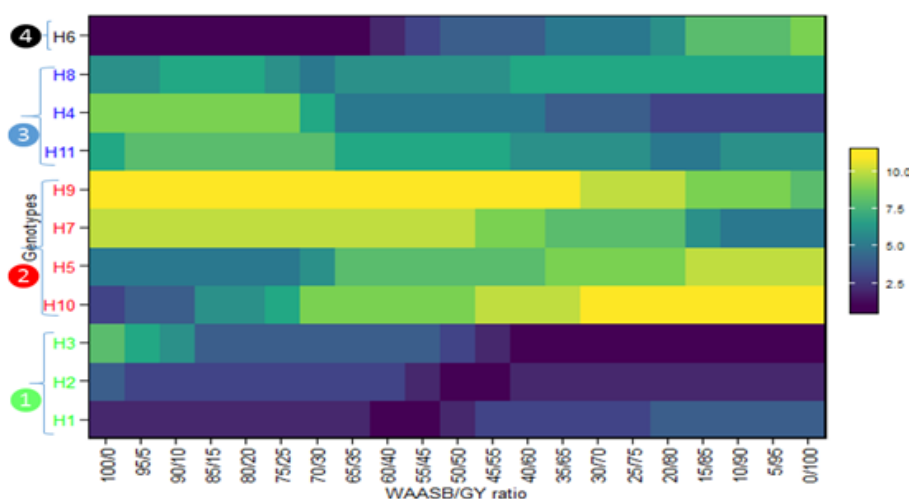
توجیه می کنند، نتایج روش هایی همچون AMMI و بای پلات های مربوطه و GGE بای پلات ممکن است با واقعیت فاصله داشته باشد و از این رو، هنگامی که درصد توجیه این مؤلفه ها پایین باشد، شاخص WAASB مبتنی بر ماتریس BLUP قابل توصیه است و نتایج به دست آمده از آن بیشتر قابل اعتماد و در نتیجه قابل استناد است. در زمینه مدل هایی با اثرهای افزایشی، بسیاری از پژوهشگران از ارزش پایداری AMMI (AVS) برای گزینش و توصیه هیبریدهای پایدار در ذرت استفاده کرده اند (Aker *et al.*, 2014; Bose *et al.*, 2014a; Bose *et al.*, 2014b; Rahayu, 2020; Sadimantara *et al.*, 2018; Samonte *et al.*, 2005; Sharifi *et al.*, 2017).

بای پلات AMMI و شاخص های پایداری مبتنی بر AMMI، مانند ASV، در ذرت با موفقیت در کمی سازی پایداری استفاده شده اند (Aker *et al.*, 2014; Bose *et al.*, 2014a; Bose *et al.*, 2014b; Rahayu, 2020; Sadimantara *et al.*, 2018; Samonte *et al.*, 2005; Sharifi *et al.*, 2017). در پژوهش حاضر، از آنجاکه نمرات برخی از هیبریدها در دو IPCA اول بسیار پایین هستند (همانند هیبریدهای شماره ۱ و ۱۱)، گزینش یا حذف این هیبریدها بر اساس آماره های مبتنی بر دو مؤلفه اصلی اول یا نمودارهای بای پلات مربوطه ممکن است نادرست باشد و نتیجه اشتباهی را در پی داشته باشد، بنابراین با توجه به اینکه هرکدام از مؤلفه ها چه میزان از تغییرات برهمکنش هیبرید در محیط را

هیبریدها زمانی که گزینش براساس وزن برابر متغیر وابسته و پایداری انجام می‌شد (شکل ۵) و بای‌پلات WAASB در برابر GY (شکل ۴) هیبریدهای پایداری بودند، اما در این خوشه‌بندی با توجه به وزن‌های متفاوت برای دو شاخص پایداری و عملکرد دانه، در خوشه هیبریدهای با پایداری کم جای گرفته‌اند. در خوشه سوم، هیبرید پایدار، اما با عملکرد پایین ۱۱، ۴ و ۸ جای گرفته بود که در شکل (۴) نیز هیبریدی با عملکردی پایین‌تر از متوسط اما پایدار بود. در آخرین گروه، هیبرید شماره ۶ جای گرفت که پرمحصول و پایدار بودند که براساس شکل (۵) نیز به ترتیب در رتبه‌های اول و سوم گزینش همزمان با پایداری و عملکرد دانه (WAASBY) با وزن برابر برای دو شاخص قرار داشتند. براساس شکل (۶) که نموداری فراگیر برای ارزیابی همزمان براساس عملکرد دانه و شاخص پایداری WAASB است، هیبریدهای شماره ۶ و ۷ بهترین هیبریدها از نظر پایداری و عملکرد دانه بودند. این نتیجه با تجزیه GGE بای‌پلات بر روی این داده‌ها نیز دیده شده بود (Mohaddesi et al., 2017)، اما هیبرید شماره ۲ در آن تجزیه پایدار بود، حال آنکه در تجزیه اخیر با وجود پایداری در خوشه‌ای با عملکرد پایین جای گرفته است. این موضوع، گویای قدرت تمایز بهتر هیبریدها براساس شاخص WAASBY در مقایسه با نمودار GGE بای‌پلات است. مقایسه نتایج این نمودار با شاخص‌های مختلف پایداری AMMI بر روی این داده‌ها (Sharifi et al., 2017; Yan et al., 2000) نیز نشان می‌دهد که بر پایه شاخص EV4 (محاسبه شده براساس چهار مؤلفه اصلی اول)، هیبرید شماره ۷ پایدارترین هیبرید بود، حال آنکه براساس پارامترهای EV1 (محاسبه شده بر اساس اولین مؤلفه اصلی) و EV2 (محاسبه شده بر اساس دو مؤلفه اصلی اول) هیبریدهای شماره ۱، ۶ و ۲ پایدار بودند. همچنین براساس شاخص ASV، هیبریدهای شماره ۶ و ۲ و با شاخص MASV، هیبریدهای شماره ۲، ۷، ۸ و ۶ پایدار شناسایی شدند. بنابراین دیده می‌شود که هرچقدر از مؤلفه‌های اصلی بیشتری استفاده شود، نتایج تجزیه‌ها به نتایج شاخص WAASBY نزدیکتر است که این کارایی بیشتر شاخص WAASBY را در شناسایی هیبریدهای برتر در مقایسه با پارامترهای پایداری AMMI می‌رساند. استفاده از شاخص‌های تک متغیره پارامتری ضریب رگرسیون، واریانس درون مکانی و متوسط عملکرد دانه بر روی این داده‌ها (Sharifi and Aminpanah, 2016)، هیبرید شماره ۲ را دارای تغییرات کم در محیط‌های متفاوت، هیبرید شماره ۷ را دارای پایداری کمتر از متوسط و با سازگاری خصوصی در محیط‌های مساعد و هیبرید شماره ۶ را پایدارترین هیبرید شناسایی کرده بود. از مقایسه این شاخص‌های پایداری تک متغیره با شاخص WAASBY، باز می‌توان به فراگیر بودن این شاخص نسبت به سایر شاخص‌ها و برتری آن پی برد. البته نتیجه گزینش هیبرید با این آماره‌های پارامتری تک متغیره با نتیجه شاخص WAASBY بسیار نزدیک است و نیاز به مقایسه این شاخص‌ها را در مطالعه‌های آینده نشان می‌دهد.

مطالعات زیادی با درصد نسبتاً کم توجیه IPCA1 در گیاهانی همچون کلزا (Bocianowski et al., 2019)، ذرت (Bornhofen et al., 2009)، گندم (Balestre et al., 2019; Veenstra et al., 2017) و برنج (Aker et al., 2020; Rahayu, 2014) گزارش شده است، بنابراین، بای‌پلات‌های با سهم پایین مؤلفه‌ها در برهمکنش هیبرید در محیط باید با احتیاط تفسیر شوند، زیرا تنها بخش ساده GEI را می‌توان در اولین مؤلفه‌های اصلی نشان داد و ممکن است بخش پیچیده GEI در این بای‌پلات‌ها حذف شده باشد (Olivoto et al., 2019b). در چنین مواقعی، بای‌پلات WAASB×GY (شکل ۵) برای شناسایی هیبریدهای بسیار پرمحصول و با پایداری گسترده می‌تواند امیدوارکننده باشد. برخلاف شکل (۵) که مقادیر WAASBY با در نظر گرفتن نسبت ثابت WAASB/GY (۵۰:۵۰) برآورد شده‌است، در شکل (۶)، چگونگی تغییر رتبه‌های هیبریدها بسته به وزن‌های داده شده به هر کدام از دو شاخص متغیر وابسته (GY) و پایداری (WAASB) نشان داده شده است. در اولین ستون سمت چپ این نمودار، رتبه‌بندی فقط براساس شاخص پایداری WAASB انجام شده است، زیرا در محور X این ستون، وزن شاخص پایداری (WAASB) برابر با ۱۰۰ و وزن شاخص متغیر وابسته (GY) برابر با صفر است. بر پایه این وزن‌دهی، هیبرید شماره ۶ ناپایدارترین و هیبرید شماره ۹ پایدارترین هیبریدها بود. از چپ به راست، وزن متغیر پاسخ (عملکرد دانه) در هر ستون، پنج درصد افزایش می‌یابد و از وزن شاخص پایداری (WAASB)، پنج درصد کاسته می‌شود. به عبارتی دیگر، در اولین ستون سمت چپ، وزن برای عملکرد دانه (GY) و (WAASB) (به ترتیب صفر و ۱۰۰ بود، اما در آخرین ستون سمت راست، این وزن کاملاً برعکس شد و رتبه‌بندی هیبریدها فقط براساس عملکرد دانه انجام پذیرفته است. ستون ۵۰:۵۰، جایی است که وزن عملکرد دانه (GY) و WAASB به ترتیب ۵۰ و ۵۰ بود. حالت ۵۰ در ۵۰ برای عملکرد و پایداری در شکل (۶)، معادل شکل (۵) می‌باشد که بیانگر این است که هیبریدهای شماره ۳، ۲ و ۱ به ترتیب بهترین هیبریدها از نظر وزن‌دهی یکسان برای عملکرد دانه و شاخص WAASB بودند (با توجه به رنگ و راهنمای نمودار). رتبه‌بندی نشان داده شده در سمت راست، کاملاً سازگار با رتبه هیبریدها برای عملکرد دانه است. همان‌گونه که دیده می‌شود، براساس عملکرد دانه، رتبه هیبریدها به صورت ۱۰ > ۵ > ۶ > ۹ > ۸ > ۱۱ > ۷ > ۱ > ۲ > ۳ بود.

هیبریدی با نمود مشابه پایداری و عملکرد گروه‌بندی و با رنگ یکسان مشخص و در سمت چپ شکل قرار داده است (شکل ۶) و در واقع هیبریدها بر این اساس گروه‌بندی شده است. بر این اساس گروه یک شامل هیبریدهای شماره ۱، ۲ و ۳ است که براساس نمودارهای پیشین نیز هیبریدهایی با عملکرد بالا و پایدار بودند. هیبریدهای شماره ۱۰، ۵، ۷ و ۹ در دسته دوم که هیبریدهای پرمحصول اما ناپایدار بودند. این

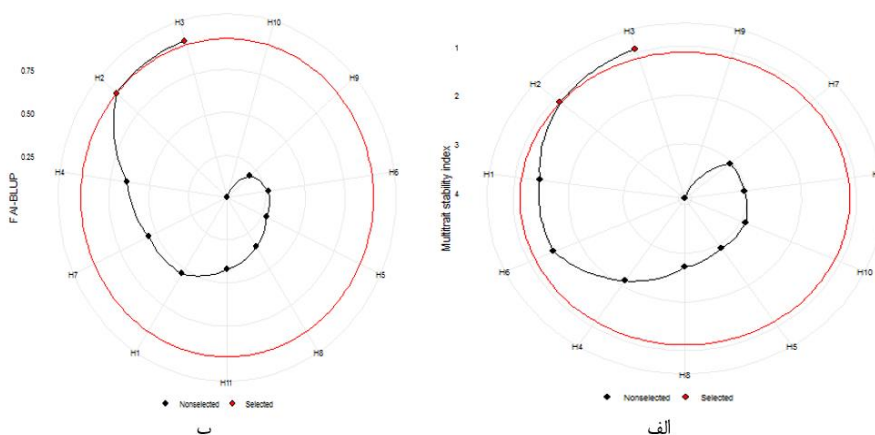


شکل ۶- رتبه‌های ۱۱ هیبرید ذرت با در نظر گرفتن وزن‌های مختلف برای پایداری و عملکرد (اولین رتبه سمت چپ، فقط بر اساس پایداری به‌دست آمده است. آخرین رتبه سمت راست نیز با در نظر گرفتن عملکرد دانه به‌دست آمده است. بین این دو انتها، رتبه‌ها از وزن‌های مختلف پایداری و عملکرد به‌دست آمده است. چهار خوشه، چهار کلاس هیبریدی را نشان می‌دهد: (۱) هیبریدهای بسیار پرمحصول و پایدار؛ (۲) هیبریدهای پرمحصول اما ناپایدار؛ (۳) هیبریدهای پایدار اما کم محصول؛ (۴) هیبریدهای ضعیف از نظر عملکرد و ناپایدار. طیف رنگ نماد رتبه هیبریدها است، به طوری که سبزه‌ترین رنگ، بیانگر رتبه بالاتر (بهتر) یک هیبرید است و به‌سوی رنگ آبی، از رتبه هیبرید کاسته می‌شود).

Figure 6. Ranks of 11 maize hybrids considering different weights for stability and yielding (The most-left ranks were obtained considering the stability only. The most right -ranks were obtained considering the grain yield only. Between the extremes, the ranks were obtained different weights for stability and yielding. The four clusters represent four classes of genotypes: (1) highly productive and stable genotypes; (2) productive but unstable genotypes; (3) stable but poorly productive genotypes; and (4) Poorly productive and unstable genotypes).

برای پاسخ به این ساختار همبستگی استفاده می‌شود (Olivoto *et al.*, 2019b; Van Eeuwijk *et al.*, 2016). با استفاده از EFA، شناسایی تعداد فاکتور، ارتباط بین عوامل و چگونگی ارتباط متغیرها با این عوامل امکان‌پذیر است (Ullman, 2006). سرانجام، برآورد نمرات فاکتور نهایی امکان جلوگیری از چندهم خطی، یک مسئله سیستمیک در تجزیه‌های چند متغیره (Olivoto *et al.*, 2017) را فراهم می‌آورد. شاخص MTSI، یک فرآیند انتخاب منحصر به فرد و آسان است که امکان انتخاب هم زمان براساس نمود عملکرد و پایداری را برای بسیاری از به‌نژادگران و متخصص‌های زراعت در هنگام داشتن داده‌های چندصفتی فراهم می‌آورد (Olivoto *et al.*, 2019b).

در شکل (۷)، رتبه‌بندی هیبریدها براساس شاخص پایداری چندصفتی (MTSI) انجام شده است که در آن، هیبریدهای شماره ۳ و ۲ به‌ترتیب با MTSI برابر با ۰/۹۲ و ۱/۱۲ به‌عنوان هیبرید برگزیده در شدت گزینش ۱۵ درصد بودند. دایره قرمز (MTSI=۱/۱۲) نقطه برش را نشان می‌دهد (شکل ۷-الف). انتخاب ارقام توسط MTSI با توجه به ارزش صفات در ارقام، یعنی صفاتی که نمود خوبی دارند، نیز مهم است (Olivoto *et al.*, 2019b). پایه تجزیه عاملی برای محاسبه شاخص MTSI این است که در یک چارچوب چندصفتی، مقادیر WAASBY صفت‌ها ممکن است به نوعی با توجه به یک ساختار همبستگی که از قبل ناشناخته است، با یکدیگر وابستگی داشته باشند؛ بنابراین، تجزیه عاملی اکتشافی (EFA)،



شکل ۷- رتبه‌بندی هیبریدها و هیبریدهای انتخاب شده الف: بر پایه شاخص پایداری چندصفتی (MTSI)؛ ب: بر پایه شاخص FAI-BLUP با در نظر گرفتن شدت انتخاب ۱۵ درصد

Figure 7. Genotype ranking and selected genotypes based on (a) multi-trait stability index (MTSI); (b) FAI-BLUP index, considering a selection intensity of 15%

### نتیجه‌گیری کلی

مقایسه میانگین‌های پیش‌بینی شده عملکرد دانه با روش BLUP نشان داد که هیبریدهای شماره ۳، ۲، ۴ و ۱ بیشترین میانگین پیش‌بینی شده را داشتند. براساس بای‌پلات اولین مؤلفه اصلی محیط در برابر عملکرد اسمی، هیبریدهای شماره ۲، ۳ و ۱ با داشتن کمترین نمره‌های مؤلفه اصلی اول (ضریب b یا شیب خط)، سهم ناچیزی در برهمکنش هیبرید در محیط داشتند و پایدار تشخیص داده شدند. همچنین، براساس شاخص WAASBY، با وزن ۵۰:۵۰ برای عملکرد دانه و پایداری، هیبریدهای شماره ۲، ۱، ۳، ۶ و ۴ هیبریدهای پایدار و با عملکرد دانه بالا بودند. با استفاده از شاخص انتخاب همزمان با وزن‌های متغیر برای عملکرد دانه (GY) و پایداری (WAASB) با نام WAASBY، هیبریدهای شماره ۱، ۲ و ۳ پرمحصول و پایدار بودند. بر اساس شاخص گزینش چند صفتی (MTSI) نیز هیبرید شماره ۳ به‌عنوان یک هیبرید برتر انتخاب شد. به‌نظر می‌رسد که برای یک نتیجه‌گیری با اطمینان بالا استفاده از نمودار نسبت شاخص پایداری WAASB به عملکرد دانه (WAASB/ GY) و نمودار گزینش هیبرید برتر بر اساس شاخص MTSI بتواند به نتایج مطلوبی از تجزیه پایداری با بهره‌گیری از تجزیه‌هایی همچون تجزیه عاملی، BLUP و AMMI در شناسایی هیبریدهای مطلوب منجر شود. در مجموع براساس تمام تجزیه‌ها، هیبرید شماره ۳ پایدارترین هیبرید بود که علاوه بر عملکرد دانه از نظر سایر صفات اندازه‌گیری شده نیز بر هیبریدهای دیگر برتری داشت.

شاخص FAI-BLUP که توسط روچا و همکاران (Rocha et al., 2018) پیشنهاد شده است، یک شاخص چندصفتی دیگر و مبتنی بر تجزیه عاملی است که براساس فاصله هر کدام از هیبریدها از هیبرید ایده‌آل برآورد می‌شود. براساس این شاخص نیز نموداری رسم گردید که همانند شاخص MTSI، پایدارترین هیبرید را شناسایی کرد (هیبرید شماره ۳). تفاوت‌هایی در رتبه‌بندی براساس این شاخص و شاخص MTSI در هیبریدها وجود داشت (شکل ۷-ب) تفاوت دو نمودار در این است که شاخص FAI-BLUP، یک شاخص چندصفتی است که فقط بر پایه نمود متغیر(های) اندازه‌گیری شده، گزینش هیبرید را انجام می‌دهد، حال آنکه در شاخص MTSI، علاوه بر نمود متغیر(های) اندازه‌گیری شده، به شاخص پایداری هر صفت نیز توجه می‌شود. البته اگر در شاخص MTSI، وزن ۱۰۰ درصد به صفت داده شود، گزینش هیبرید فقط براساس عملکرد دانه انجام می‌شود، ولی اگر وزن ۱۰۰ درصد به شاخص پایداری (در اینجا WAASB) داده شود، گزینش فقط براساس تجزیه عاملی مبتنی بر پایداری انجام می‌گیرد. هر وزنی بین صفر-۱۰۰ شاخص MTSI، یک معیار چندصفتی برای گزینش همزمان بر پایه متغیر وابسته و پایداری را پدید می‌آورد. در این پژوهش، از وزن‌دهی ۵۰:۵۰ برای محاسبه شاخص MTSI استفاده شد؛ بنابراین به‌نظر می‌رسد که با توجه به انعطاف‌پذیری شاخص MTSI نسبت به شاخص FAI-BLUP، بهتر است از شاخص MTSI و نمودار حاصل از آن استفاده شود.

### References

- Ahmadi, K., Ebadzadeh, H. R., Hatami, F., Abdshah, H., & Kazemian, A. (2019). Agricultural Statistics of 2017-18 Growing Year. Volume One: Crop Products. Ministry of Jihad Agriculture, Deputy of Planning and Economy, Information and Communication Technology Center, IR (In Persian).
- Akter, A., Jamil Hassan, M., Umma Kulsum, M., Islam, M. R., Hossain, K., & Mamunur Rahman, M. (2014). AMMI biplot analysis for stability of grain yield in hybrid rice (*Oryza sativa* L.). *Journal of Rice Research*, 2(2), 126-138. <http://dx.doi.org/10.4172/jrr.1000126>
- Balestre, M., Von Pinho, R. G., Souza, J. C., & Oliveira, R. L. (2009). Genotypic stability and adaptability in tropical maize based on AMMI and GGE biplot analysis. *Genetic Molecular Research*, 8(4), 1311-1322. <https://doi.org/10.4238/vol8-4gmr658>

- Bocianowski, J., Niemann, J., & Nowosad, K. (2019). Genotype by environment interaction for seed quality traits in interspecific cross-derived *Brassica* lines using additive main effects and multiplicative interaction model. *Euphytica*, 215(7), 1-13. <https://doi.org/10.1007/s10681-018-2328-7>
- Bornhofen, E., Benin, G., Storck, L., Woyann, L. G., Duarte, T., Stoco, M. G., & Marchioro, S. V. (2017). Statistical methods to study adaptability and stability of wheat genotypes. *Bragantia*, 76(1), 1-10. <https://doi.org/10.1590/1678-4499.557>
- Bose, L. K., Jambhulkar, N. N., Pande, K., & Singh, O. N. (2014a). Use of AMMI and other stability statistics in the simultaneous selection of rice genotypes for yield and stability under direct-seeded conditions. *Chilean Journal of Agricultural Research*, 74(1), 1-7. <http://dx.doi.org/10.4067/S0718-58392014000100001>
- Bose, L. K., Jambhulkar, N. N., Pande, K., & Singh, O. N. (2014b). Additive main effects and multiplicative interaction (AMMI) analysis of grain yield stability in early duration rice. *Journal of Animal and Plant Science*, 24(6), 1885-1897.
- Donoso-Nanculao, G., Paredes M., Becerram V., Arrepol, C., & Balzarini, M. (2016). GGE biplot analysis of multi -environment yield trials of rice produced in a temperate climate. *Chilean Journal of Agricultural Research*, 76(2), 152-157. <http://dx.doi.org/10.4067/S0718-58392016000200003>
- Gauch, H. G. (1988). Model selection and validation for yield trials with interaction. *Biometrics*, 44(3), 705-715. <https://doi.org/10.2307/2531585>
- Gauch, H. G., & Zobel, R. W. (1988). Predictive and postdictive success of statistical analyses of yield trials. *Theoretical and Applied Genetis*, 76(1), 1-10. <https://doi.org/10.1007/BF00288824>
- Gauch, H. G. & Zobel, R. W. (1997). Identifying mega-environments and targeting genotypes. *Crop Science*, 37(1), 311-326. <https://doi.org/10.2135/cropsci1997.0011183X003700020002x>
- Katsenios, N., Sparangis, P., Leonidakis, D., Katsaros, G., Kakabouki, I., Vlachakis, D. & Efthimiadou, A. (2021). Effect of genotype× Environment interaction on yield of maize hybrids in Greece using AMMI analysis. *Agronomy*, 11(3), 479. <https://doi.org/10.3390/agronomy11030479>
- Kempton, R. A. (1984). The use of biplots in interpreting variety by environment interactions. *Journal of Agricultural Science*, 103(1), 123-135. <https://doi.org/10.1017/S0021859600043392>
- Liu, C., Ma, C., Lü, J. & Ye, Z. (2022). Yield stability analysis in maize hybrids of southwest China under genotype by environment interaction using GGE biplot. *Agronomy*, 12(5), 1189. <https://doi.org/10.3390/agronomy12051189>
- Mohaddesi, A., Erfani, R., Sharifi, P., Aminpanah, H., & Abbasian. A. (2017). Studying the relationships between yield and yield components and stability of some of rice genotypes using biplot method. *Cereal Research*, 6(4): 411-421 (In Persian).
- Moharramnejad, S., Shiri M. (2020). Study of Genetic Diversity in Maize Genotypes by Ear Yield and Physiological Traits. *Journal of Crop Breeding*, 12(35), 30-40 (In Persian). <https://doi.org/10.52547/jcb.12.35.30>
- Nardino, M., D. Baretta, Carvalho, I. R., Olivoto, T., Follmann, D. N., Vincius, J. S., Ferrari, M., de Pelegrin, A. J., Konflanz, V.A., & de Souza, V.Q. (2016). Restricted maximum likelihood/best linear unbiased prediction (REML/BLUP) for analyzing the agronomic performance of corn. *African Journal of Agricultural Research*, 11(48), 4864-4872. <https://doi.org/10.5897/AJAR2016.11691>
- Olivoto, T., Lúcio, A. D. C., da Silva, J. A. G., Sari, B. G., & Diel, M. I. (2019a). Mean performance and stability in multi-environment trials II: selection based on multiple traits. *Agronomy Journal*, 111(6), 2961-2969. <https://doi.org/10.2134/agronj2019.03.0221>
- Olivoto, T., Lúcio, A. D. C., da Silva, J. A. G., Marchioro, V. S., de Souza, V. Q., & Jost, E. (2019b). Mean performance and stability in multi -environment trials I: combining features of AMMI and BLUP techniques. *Agronomy Journal*, 111(6), 2949-2960. <https://doi.org/10.2134/agronj2019.03.0220>
- Olivoto, T., Nardino, M., Carvalho, I. R., Follmann, D. N., Ferrari, M., Szareski, V. J., de Pelegrin, A. J. & de Souza, V. Q. (2017). REML/BLUP and sequential path analysis in estimating genotypic values and interrelationships among simple maize grain yield-related traits. *Genetics and Molecular Research*, 16(1), 1-19. <https://doi.org/10.4238/gmr16019525>
- Piran, M., Asghari, A., Moharramnejad, S., & Mohammaddoust Chaman Abad H. (2021). Evaluation of diversity to selecting best maize hybrids. *Journal of Crop Breeding*, 13(39), 98-107 (In Persian). <https://doi.org/10.52547/jcb.13.39.98>
- Rahayu, S. (2020). Yield stability analysis of rice mutant lines using AMMI method. *IOP Conf. Series: Journal of Physics: Conference Series*, 1436(1): 1-9. <https://doi.org/10.1088/1742-6596/1436/1/012019>
- Rocha, J. R., Machado, J. C., & Carneiro, P. C. S. (2018). Multi-trait index based on factor analysis and ideotype -design: Proposal and application on elephant grass breeding for bioenergy. *Global Change Biology and Bioenergy*, 10(1), 52-60. <https://doi.org/10.1007/s12155-015-9709-8>
- Sadimantara, G. R., Kadidaa, B., Suaib, L., & Safuan, O. (2018). Growth performance and yield stability of selected local upland rice genotypes in Buton Utara of Southeast Sulawesi. *IOP Conference Series: Earth and Environment Science*, 122(1), 1-7. <https://doi.org/10.1088/1755-1315/122/1/012094>
- Samonte, S. O. P., Wilson, L. T., McClung, A. M., & Medley, J. C. (2005). Targeting cultivars onto rice growing environments using AMMI and SREG GGE biplot analyses. *Crop Science*, 45(6), 2414-2424. <https://doi.org/10.2135/cropsci2004.0627>

- Sharifi, P. (2020a). Application of Multivariate Analysis Methods in Agricultural Sciences. Rasht Branch, Islamic Azad University Press, IR (In Persian).
- Sharifi, P. (2020b). Evolution, Domesicatin, Breeding Methods and the Latest Breeding Findings in Rice. Agricultural and Natural Resources Engineering Organization of IRAN, IR (In Persian).
- Sharifi, P., Abbasian, A. & Mohaddesi, A. (2021). Evaluation the mean performance and stability of rice genotypes by combining features of AMMI and BLUP techniques and selection based on multiple traits. *Plant Genetic Researches*, 7(2), 163-180 (In Persian). <https://doi.org/10.52547/pgr.7.2.13>
- Sharifi, P., Aminpanah, H., Erfani, R., Mohaddesi, A., & Abbasian, A. (2017). Evaluation of genotype × environment interaction in rice based on AMMI model in Iran. *Rice Science*, 24(3), 173-180. <https://doi.org/10.1016/j.rsci.2017.02.001>
- Sharifi, P., & Aminpanah, H. (2016). Evaluation of genotype × environment interactions, stability and a number of genetic parameters in rice genotypes. *Plant Genetic Researches*, 3(2), 25-42 (In Persian). <https://doi.org/10.29252/pgr.3.2.25>
- Shiri, M. R. (2013). Grain yield stability analysis of maize (*Zea mays* L.) hybrids under different drought stress conditions using GGE biplot analysis. *Crop Breeding Journal*, 3(2), 107-112. <http://dx.doi.org/10.22092/cbj.2012.100456>
- Smith, A. B., Cullis, B. R., & Thompson, R. (2005). The analysis of crop cultivar breeding and evaluation trials: An overview of current mixed model approaches. *Journal of Agriculture Science*, 143(1), 449-462. <https://doi.org/10.1017/S0021859605005587>
- Ullman, J. B. (2006). Structural equation modeling: Reviewing the basics and moving forward. *Journal of Personality Assessment*, 87, 35-50. [https://doi.org/10.1207/s15327752jpa8701\\_03](https://doi.org/10.1207/s15327752jpa8701_03)
- Van Eeuwijk, F. A., Bustos-Korts, D. V., & Malosetti, M. (2016). What should students in plant breeding know about the statistical aspects of genotype × environment interactions? *Crop Science*, 56(5), 2119-2140. <https://doi.org/10.2135/cropsci2015.06.0375>
- Veenstra, L. D., Santantonio, N., Jannink, J. L., & Sorrells, M. E. (2019). Influence of genotype and environment on wheat grain fructan content. *Crop Science*, 59(5), 190-198. <https://doi.org/10.2135/cropsci2018.06.0363>
- Yan, W., Hunt, L. A., Sheng, Q., & Szlavnic, Z. (2000). Cultivar evaluation and mega -environment investigation based on the GGE biplot. *Crop Science*, 40, 597-605. <https://doi.org/10.2135/cropsci2000.403597x>